

## مقایسه استحکام برشی و ریزنشت یک دنتین باندینگ آزمایشگاهی با سیستم باندینگ ISO TR 11405 بر اساس استاندارد Scotchbond چند منظوره

دکتر طاهره سادات جعفرزاده کاشی\* - دکتر محمد عرفان\*\* - دکتر الهیار نژادی نیاسر\*\*\*<sup>†</sup>

\*استادیار گروه مواد دندانی دانشکده دندانپزشکی / مرکز تحقیقات علوم و تکنولوژی در پزشکی دانشگاه علوم پزشکی و خدمات بهداشتی، درمانی تهران

\*\*استادیار دانشکده داروسازی دانشگاه علوم پزشکی شهید بهشتی

\*\*\*دستیار تخصصی رادیولوژی دهان و فک و صورت دانشکده دندانپزشکی دانشگاه علوم پزشکی و خدمات بهداشتی، درمانی تهران

**Title:** Comparison of shear bond strength and microleakage of Scotchbond multi-purpose (MP) adhesive system and an experimental dentin bonding agent based on standard of ISO TR 11405

**Authors:** Jafarzadeh Kashi T. Assistant professor\*, Erfan M. Assistant professor\*\*, Nezadi Niasar A. Post graduate student

**Address:** \*Department of Dental Material, School of Dentistry, Tehran University of Medical Sciences

\*\*Department of Pharmaceutics, School of Pharmacology, Shahid Beheshti University of Medical Sciences

\*\*\*Department of Oral and Maxillofacial Radiology, School of Dentistry, Tehran University of Medical Sciences

**Background and Aim:** Evaluation of shear bond strength and microleakage of bonding agents is important as these properties play main roles in adhesion of composite to dental tissues. Microleakage results in bacterial penetration into dentin tubules and enamel surfaces and causes sensitivity and recurrent caries followed by destruction of composite filling. Insufficient shear bond strength results in early failure of filling in low masticatory forces. The main goal of this study was to compare the microleakage and shear bond strength of an experimental adhesive and Scotchbond multi-purpose (MP) adhesive system.

**Materials and Methods:** In this experimental study, sixty extracted caries free human molar teeth were randomly assigned into 4 groups of 15 each for shear bond strength. Variables were bonding agents, enamel and dentin. Twenty teeth assigned into 2 groups of 10 each were used for valuation of the microleakage. Microleakage and shear bond strength were performed according to ISO TR 11405. All data were analyzed with parametric and non-parametric tests according to their normality distribution. Also, Weibull distribution performed on data.

**Results:** Data obtained from both microleakage and shear bond strength tests showed no significant difference between the experimental bonding and Scotchbond MP bonding ( $P>0.05$ ). Furthermore, there was no significant difference between the microleakage of occlusal and gingival parts of both bondings ( $P>0.05$ ).

**Conclusion:** Experimental adhesive bonding showed acceptable results regarding microleakage and shear bond strength. It may be concluded that the experimental dentin bonding had a comparable performance quality with that of commercial system.

**Key Words:** Shear Strength; Leakage; Scotchbond Multi-Purpose; Dentin Bonding Agents

### چکیده

**زمینه و هدف:** استحکام برشی پیوند و میزان ریزنشت مهم‌ترین خواص دنتین باندینگ‌ها می‌باشد زیرا در اتصال کامپوزیت به نسج دندانی نقشی اساسی دارد. ریزنشت باعث نفوذ عوامل باکتریال به توبول‌های عاجی و سطوح مینایی شده که حساسیت و عود پوسیدگی را به واسطه از دست رفت ترمیم کامپوزیتی به دنبال خواهد داشت. استحکام برشی ناکافی پیوند، باعث شکست زودهنگام ترمیم در اثر حداقل نیروهای مضغی می‌شود. هدف اصلی از انجام این مطالعه مقایسه میزان ریزنشت و استحکام برشی باندینگ یک ادھریو آزمایشگاهی با یک ادھریو اسکاچ باند بود.

**روش بروزی:** در این مطالعه تجربی، ۶۰ دندان مولر بدون پوسیدگی برای تست باند برشی استفاده شد که به چهار گروه ۱۵ تایی تقسیم گردید. متغیرهای این مطالعه، نوع باندینگ، مینا و عاج بودند. جهت تست ریزنشت از ۲۰ دندان استفاده شد و به دو گروه ۱۰ تایی تقسیم گردید. مراحل بر اساس استاندارد ISO TR 11405 اجرا گردید. داده‌ها پس از انجام نرمالیتی تست با استفاده از آزمون‌های پارامتریک و غیرپارامتریک مورد تجزیه و تحلیل آماری قرار گرفت.

+ مؤلف مسؤول: نشانی: تهران - خیابان انقلاب - خیابان قدس - دانشگاه علوم پزشکی تهران - دانشکده دندانپزشکی - گروه آموزشی رادیولوژی فک و صورت  
تلفن: ۰۶۴۹۲۲۱۳ نشانی الکترونیک: nezadi@gmail.com

بعلاوه توزیع Weibull بر روی داده‌ها صورت پذیرفت.

**یافته‌ها:** داده‌های تست ریزنشت و استحکام باند برشی اختلاف آماری معنی‌داری را بین دو گروه باند آزمایشگاهی و SbMP نشان ندادند ( $P > 0.05$ ). ریزنشت در دو باندینگ بین سطوح اکلولزال و ژیتربوال از لحاظ آماری تفاوت معنی‌داری نداشت ( $P > 0.05$ ).

**نتیجه‌گیری:** باندینگ آزمایشگاهی نتایج قابل قبول و مشابه SbMP نشان داد. می‌توان نتیجه گرفت که باندینگ آزمایشگاهی دارای کیفیت کاربردی بالا و قابل مقایسه با مشابه تجاری آن است.

### کلید واژه‌ها: استحکام برشی؛ ریز نشت؛ باندینگ چند منظوره اسکاج باند؛ عوامل باندینگ عاجی

وصول: ۸۸/۰۵/۲۲ اصلاح نهایی: ۸۸/۰۶/۲۸ تأیید چاپ: ۸۸/۰۶/۲۸

## مقدمه

عملکرد دوگانه خود را در ترکیب با ترمیم رزینی و عاج، به نمایش می‌گذارد) در تحمل نمودن انواع نیروها (کششی، فشاری و برشی) به مقاومت علیه تخریب شیمیایی ناشی از میانعات و بzac، سازگاری بیولوژیک ناشی از ترکیب مونومری باندینگ (۹،۱۰)، درهم نشری (Interdiffusion) مناسب اجزای سیستم «عاج-باندینگ-ترمیم رزینی» و پلیمریزاسیون مطلوب، بستگی دارد (۱۱،۱۲). با توجه به نکات مذکور، بر آن شدیدم تا به بررسی میزان ریزنشت و استحکام برشی باندینگ در دوسیستم باندینگ نسل چهارم (یکی محصول شرکت MP (Scotchbond 3M) و دیگری یک باندینگ آزمایشگاهی تولید شده توسط اعضای این پژوهش) پردازیم و نیز بواسطه تطابق با مفاد ISO TR 11405 کیفیت آنها را مورد تأیید قرار دهیم.

## روش بررسی

در این پژوهش تحریبی از مواد و وسایلی که در جدول ۱ آمده است استفاده گردید:

طریقه استفاده از کامپوزیت و باندینگ: مطابق دستورالعمل کارخانه 3M، بعد از خشک کردن و ایزوله کردن نسج دندانی، به مدت ۱۵ ثانیه اسید اج را بر روی عاج و مینا قرار داده و سپس به مدت ۱۵ ثانیه آن را شستشو داده و به مدت ۵ ثانیه خشک کرده، سپس پرایمر را بر روی نسج دندان قرار داده و به مدت ۵ ثانیه به آرامی خشک کردیم. سپس Adhesive را بر روی سطح قرار داده و ۱۰ ثانیه توسط دستگاه Coltolux75 (Light Cure) مورد تابش قرار دادیم. لازم به ذکر است که شدت تابش نور توسط رادیو مترا Optilux مدل ۱۰۰، Kerr آمریکا مورد بررسی قرار گرفت

اصول دندانپزشکی براساس کاربرد مواد Adhesive به سال ۱۹۵۵ باز می‌گردد (۱). یعنی زمانی که بونوکور با استفاده از روش‌های باندینگ صنعتی به نتایج ذیل دست یافت: ۱- می‌توان پیش از بکارگیری رزین‌ها از اسیدهای مختلف برای آماده‌سازی سطح دندان استفاده کرد. ۲- اج کردن مینا با اسید فسفریک طول عمر چسبیدن مواد ترمیمی به دندان را افزایش می‌دهد. ۳- عامل اصلی چسبندگی رزین‌ها به مینای اج شده، تشکیل دنبالچههای رزینی (Resin Tags) است (۲)، زیرا رزین به درون خلل و فرج‌های میکروسکوپی مینای اج شده نفوذ می‌کند و سبب پیوند میکرومکانیکال می‌شود.

توانایی پیوند مواد ترمیمی به مینا اکنون به حد قابل قبولی رسیده اما چسباندن مواد ترمیمی موجود به عاج مسئله‌ای پیچیده به حساب می‌آید، زیرا درصد بالای مواد ارگانیک و آب، وجود توبول‌های عاجی، جریان مایع پالپی درون توبول‌ها و نفوذپذیری زیاد آن در برابر جریان‌های مولکولی و تهاجم باکتری‌ها، باند بین رزین هیدروفوب و سطح عاج هیدروفیل را مشکل می‌کند (۳). از جمله عوامل منفی دیگر می‌توان به لایه اسمیر (۴) که پس از تراشیدن دندان به سطح عاج می‌چسبد (۵) و نیز واکنش پالپ به مونومرها و سایر مواد بکار رفته در باندینگ‌ها اشاره نمود (۷). سیستم‌های باندینگ عاجی که در سه دهه اخیر دستخوش دگرگونی و تکامل بوده‌اند نقش دوگانه‌ای دارند. این سیستم‌ها از ترکیبات مونومرها و افزودنی‌ها (شامل: آغازگر، بازدارنده و ثابت‌کننده) تشکیل شده‌اند و وظیفه باند با عاج و نیز پیوند با ترمیم‌های رزینی دندانی را بر عهده دارند (۸). موفقیت یک ترمیم همنگ دندان بستگی به خصوصیات فیزیکی، مکانیکی، شیمیایی و بیولوژیک باندینگ دارد. کیفیت لایه هیبرید (مکانی که باندینگ

## جدول ۱- مواد و وسایل مورد استفاده در پژوهش

نوع ماده	Lot Number	کارخانه سازنده
Scothcbond Multi-Purpose Adhesive	۲ MW	3M ESPE - St. Paul- Maplewood- Minnesota-USA
Scothcbond Multi-Purpose Primer	۲ YY	3M ESPE - St. Paul- Maplewood- Minnesota-USA دانشکده داروسازی-دانشگاه علوم پزشکی شهید بهشتی- ایران
Experimental Adhesive	۲ YN	3M ESPE - St. Paul- Maplewood- Minnesota-USA
Scothcbond Etchant	۲ GJ	3M ESPE - St. Paul- Maplewood- Minnesota-USA
Z100 Restorative Composite	Un ۱۲۴۷	Meliodent- Bayer Dental- Newbury- Berkshire- U. K
Light-Cure Coltolux 75	-	Coltène/Whaledent -Cuyahoga Falls- Ohio-USA
کاغذ سیلیکون (سمباده) ۴۰۰ grit	۶۳۱۵۳	Linyi Zhongnankaichuang Trading Co- Shandong- China
وارنیش (لاک)	OJE ۸۸	Leydi co- Tianjin-China
اکریل شفاف خودسخت‌شونده	۵۴۵ Y	Dentsply Y International- York- Pennsylvania-USA

سیستم ۳M Scotchbond MP Adhesive (نمونه‌های کنترل) روی سطح مینا یا عاج قرار گرفت و سپس مولد سلووئیدی (سطح مقطع به قطر ۳ میلی‌متر)، روی سطح باند شده قرار گرفت و کامپوزیت درون آن قرار گرفت و طبق دستور کارخانه توسط نور، کیور گردید. نمونه‌ها به مدت ۱۳ روز در آب مقطر ۳۷ درجه سانتی گراد قرار گرفتند. سپس نمونه‌ها تحت استرس برشی قرار گرفتند و قدرت باند بر حسب مگاپاسگال محاسبه شد. بدین نحو که، ابتدا تیغه به نمونه نزدیک شده و سپس با سرعت ۰/۵ میلی‌متر در دقیقه نیروی عمودی به نمونه اعمال گردید. نهایتاً نمونه زیر میکروسکوپ (بزرگ‌نمایی ۶/۵ برابر) و نور مایل بررسی شد و Mode of Failure (نحوه شکست) آن تعیین گردید (جدول ۲). Mode of Failure ممکن است به صورت ترکیبی از این موارد هم باشد که به صورت درصد بیان می‌شود. همین روش بر روی سیستم باندینگ ساخته شده صورت گرفت.

## جدول ۲- نحوه شکست

Ad	شکست در فاصله بین دندان و باندینگ
Co	شکست کاملاً در عاج یا مینا (TF)
Co	شکست کاملاً در کامپوزیت (CF)
Co	شکست کاملاً در باندینگ (BF)

Ad: Adhesive  
Co: Cohesive

(شدت تابش نور =  $800 = 800 \text{ میلی وات} / \text{سانتی متر مربع}$ ). جهت سنجش ریزنشت، کامپوزیت Z100 را به صورت لایه‌لایه (حداکثر ضخامت هر لایه ۲ میلی‌متر) درون حفره تراش داده شده قرار داده و سپس کامپوزیت توسط یک مولد سلووئیدی به قطر ۳ میلی‌متر بر روی نسج دندانی (مینا یا عاج) قرار داده شد. نهایتاً همین روش در مورد باندینگ آزمایشگاهی نیز انجام شد.

تست Shear Strength: از این تست جهت بررسی قدرت پیوند سیستم Adhesive به دندان استفاده شد (۱۳). بر اساس استاندارد ISO TR 11405 ابتدا ۱۵ دندان مولر (برای هر سری آزمایش) بدون پوسیدگی که به تازگی کشیده شده بودند، انتخاب و شسته شدند. سپس دندان‌ها در محلول باکتریوسید/باکتریوساتایک ۰/۵٪ کلرامین به مدت یک هفته قرار گرفتند و سپس در آب مقطر و در دمای ۴ درجه سانتی گراد نگهداری شدند. برای تهیه نمونه‌های مینا، سطحی صاف از دندان تهیه شد. جهت استفاده گردید زیرا دنتینی که نزدیک به پالپ دندان می‌باشد قدرت باند کمتری دارد.

به منظور تهیه نمونه‌های دنتین به صورت یکنواخت، نمونه‌ها از ۱ میلی‌متری DEJ به داخل دنتین تهیه شد. برش‌های مینا یا عاج درون مولد فلزی به قطر ۱۳ میلی‌متر، به کمک اکریل خودسخت‌شونده "بایر" ثابت شدند و پس از خارج کردن نمونه ثابت شده، سطح دندان با کاغذ سیلیکون ۴۰۰ grit پرداخت گردید، سپس طبق دستور کارخانه

حفره‌ای بدین نحو تراش داده شد: کف ژنژیوال ۱ میلی‌متر پایین‌تر از CEJ، ارتفاع اکلوزوژنژیوال ۳ میلی‌متر، عرض مزیودیستالی ۵ میلی‌متر و عمق حفره در داخل عاج ۱ میلی‌متر. سپس طبق دستور کارخانه سیستم Adhesive، حفره‌ها آماده‌سازی و سپس با کامپوزیت پر شدند. نمونه‌ها تحت ترمومیکلینگ با تعداد ۵۰۰ سیکل در دمای بین ۵ و ۵۵ درجه سانتی‌گراد قرار گرفتند. پس از سیل کردن انتهای ریشه، تمام سطوح دندان تا ۱ میلی‌متری مارجین با دو لایه لک پوشیده شد و سپس در حرارت ۳۷ درجه به مدت ۲۴ ساعت در محلول فوشین قرار گرفت. پس از شستشو با اکریل شفاف پوشیده و سپس به صورت طولی برش داده شد. با استریومیکروسکوپ با بزرگنمایی ۱۰ برابر عمق نفوذ رنگ در حد فاصل ترمیم و دیواره دندانی آماده‌سازی شده، مورد ارزیابی و سپس به صورت زیر مورد درجه‌بندی قرار گرفت:

= عدم نفوذ رنگ

= نفوذ رنگ کمتر

= نفوذ رنگ بیش از نصف عمق حفره ولی کمتر از دیواره اگزیال

= نفوذ رنگ تا دیواره اگزیال ولی این دیواره را کاملاً در بر نمی‌گیرد.

= نفوذ رنگ تا حدی که دیواره اگزیال را کاملاً در بر می‌گیرد. نهایتاً پس از پردازش اطلاعات توسط نرم افزار SPSS داده‌ها با استفاده از آزمون Mann-Whitney (Mann-Whitney Non-Parametric) مورد تجزیه تحلیل آماری قرار گرفت.

## یافته‌ها

توزیع فراوانی درجات ریزنشت گروه‌های مورد بررسی در سطوح اکلوزال و ژنژیوال در جدول ۳ آمده است. آنالیز آماری قسمت اکلوزالی ( $P=0.396$ ) و ریزنشت قسمت ژنژیوالی ( $P=0.100$ ) اختلاف قابل ملاحظه‌ای را نشان نداد.

آزمون Non-Parametric، در سیستم باندینگ SbMP، در زمینه ریزنشت قسمت‌های اکلوزالی و ژنژیوالی ( $P=0.100$ ) تفاوت معنی‌داری را نشان نداد. بعلاوه این آزمون در سیستم باندینگ آزمایشگاهی از جهت ریزنشت قسمت‌های اکلوزالی و ژنژیوالی ( $P=0.465$ ) نیز اختلاف قابل ملاحظه‌ای را نشان نداد.

## روش تجزیه و تحلیل آماری

برای آنالیز نتایج استحکام برشی، ابتدا با استفاده از آزمون Kolmogorov-Smirnov نرمالیتی داده‌ها تعیین گردید و سپس با Weibull Analysis و POST HOC (ANOVA) آزمونی است که داده‌ها مورد تحلیل قرار گرفتند. Weibull Analysis رابطه بین احتمال شکست باند را با میزان نیروی برشی نشان می‌دهد. معادله Weibull به صورت زیر می‌باشد:

$$P_f = 1 - \exp \left[ \frac{(\delta - \delta u)}{(\delta o)} \right]^m$$

$P_f$  احتمال شکست باند در هر سطحی از استرس بیش از میزان استرس  $\delta$  می‌باشد.  $\delta u$ ،  $\delta o$  و  $m$  مقادیری ثابت هستند.  $\delta u$  حداقل استرسی است که احتمال شکست در آن وجود دارد. در اغلب موارد  $\delta u$  معادل صفر است ( $\delta u = 0$ ).  $\delta o$  به عنوان Normalizing Parameter Weibull Modulus می‌نامند و دارای اهمیت کاربردی بالایی است. مقادیر کم  $m$  نشان‌دهنده طیف وسیعی از نتایج پراکنده با دم طویل (Long Tail) در استرس‌های پایین است، در حالی که مقادیر بالای  $m$  نشان‌دهنده نتایج شکست نزدیک به هم است. Weibull Modulus نشان‌گر میزان قابل اعتماد بودن باند است، بطوریکه هر چه  $m$  بیشتر باشد، باند قابل اعتمادتر است. در این مطالعه مقادیر ثابت  $\delta o$  (Normalizing Parameter) و احتمال شکست در  $5\%$  و  $90\%$  Weibull Modulus ( $m$ ) استرس بررسی شده است.

از نرم‌افزار آماری SPSS جهت آنالیز نتایج تست استحکام برشی استفاده شد و برای انجام آنالیز Weibull نرم‌افزارهای Excel و Sigma Plat و Table Cure 2D به کار گرفته شدند. **تست ریزنشت:** جهت بررسی میزان ریز نشت طبق ISO TR 11405 حداقل ۱۰ نمونه برای باندینگ در نظر گرفته شد. در این مطالعه پس از تهیه دندان‌ها در سطح باکال یا لینگوال دندان

جدول ۳- توزیع فراوانی درجات ریزنشت

باندینگ	Part	Score 0	Score 1	Score 2	Score 3	Score 4
Scotchbond ادهیو	اکلوزال	۹	۱	.	.	.
	ژنژیوال	۶	۱	.	۳	.
باندینگ آزمایشگاهی	اکلوزال	۹	۱	.	.	.
	ژنژیوال	۸	۰	.	۲	.

جدول ۴- میزان استحکام برشی در نمونه‌های مینا و عاج باندینگ‌های SbMP و آزمایشگاهی

باندینگ آزمایشگاهی	SbMP		
عاج	مینا	عاج	مینا
۱۶/۲۱	۱۴/۰.۸	۱۴/۸۳	۱۳/۱۰
۶/۵۶	۴/۷۸	۷/۸۳	۵/۸۶
۴۰/۴۷	۳۳/۹۴	۵۲/۸۱	۴۴/۷۴

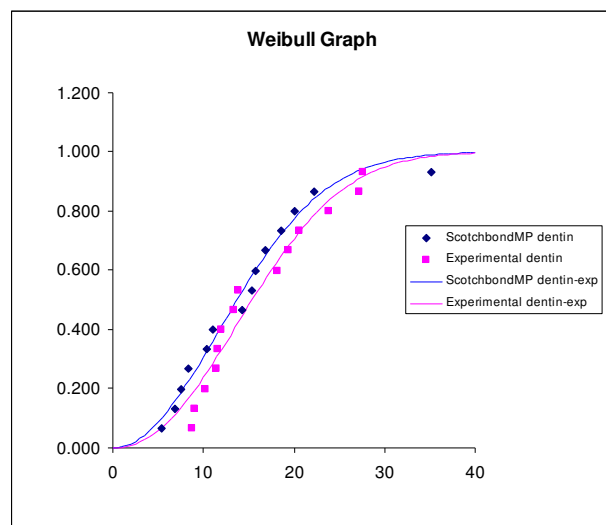
جدول ۵- آنالیز Weibull در باندینگ‌های Experimental و SbMP

Normalizing Parameter ( $\sigma_0$ )	Weibull Modulus (m)	Correlation Coefficient ( $r^2$ )	استرس برای شکست در %۵ { $\sigma_{0.05}$ (MPa)}	استرس برای شکست در %۹۰ { $\sigma_{0.9}$ (MPa)}	گروه‌ها
۱۶/۴۳	۰/۰۲	۰/۹۸	۳/۷۷	۲۴/۸۳	Scotchbond MP
۱۸/۲	۲/۱۸	۰/۹۶	۴/۶۶	۲۶/۶۸	باندینگ آزمایشگاهی

نیرو بر حسب نیوتون و سطح مقطع بر حسب میلی‌متر مربع ثبت شده بود، مقادیر استحکام برشی بر حسب مگاپاسکال محاسبه شد و سپس هر کدام از نمونه‌ها تعیین گردید Mode of Failure در (Mode of Failure) ۴۷٪ نمونه‌های مینایی و ۸۰٪ نمونه‌های عاجی در فاز Adhesive (تعیین گردید). نتایج استحکام برشی دو باندینگ مورد مطالعه در قسمت‌های عاجی و مینایی در جدول ۴ قرار دارد. جدول ۵ نمودار ۱ نتایج و گراف آنالیز Weibull را نشان می‌دهد.

## بحث و نتیجه‌گیری

ترمیم‌های دندان‌های خلفی با رزین کامپوزیت‌ها و در سال‌های اخیر استفاده از دنتین باندینگ‌ها تحول شگرفی در دندانپزشکی ترمیمی به وجود آورده است. اتصال میکرومکانیکال کامپوزیت‌ها به نسج دندان که با واسطه باندینگ‌ها از طریق اج کردن مینا و عاج (Total Etch) به وجود می‌آید تا حدود زیادی دغدغه‌ریزنشت میکرومکانیکال و حساسیت‌های پس از پرکردگی‌های کامپوزیتی را از بین برده است. از



نمودار ۱- نمودار Weibull مربوط به نمونه‌های عاج در تست استحکام باند برشی

در مورد تست استحکام باند برشی پس از این که نمونه‌ها تحت تأثیر نیروی دستگاه UTM (Zwick) قرار گرفته‌اند، با توجه به این که

ترموسایکلینگ اختلاف معنی‌داری وجود ندارد (۱۷، ۱۸). Talic و El-Araby اثر ترموسایکلینگ را بر روی سیستم‌های خود اچ شونده بررسی کردند و نتیجه‌گیری نمودند که استحکام برشی هم در مینا و هم در عاج پس از ترموسایکلینگ کاهش می‌یابد (۱۹). علت این امر می‌تواند تفاوت در باندینگ‌های مورد استفاده باشد. با توجه به اینکه استاندارد ISO TR 11405 تعداد ۵۰۰ سیکل را در دمای بین ۵ و ۵۵ سانتی‌گراد توصیه نموده است این مسئله مبنای مطالعه حاضر قرار گرفت و در این پژوهش تفاوت معنی‌داری میزان میزان ریزنشت در قسمت‌های اکلوزالی در دو گروه باندینگ مشاهده نشد و میزان ریزنشت اکلوزالی (مینایی) این دو باندینگ مشابه یکدیگر برآورد گردید. همچنین از نظر ریزنشت ژنتیوالی (عاجی) این دو باندینگ مشابه یکدیگر بوده و اختلاف قابل ملاحظه‌ای را نسبت به هم نشان ندادند. یکی از مهمترین توجیهات در این زمینه، می‌تواند شباهت فرمولاسیون این دو باندینگ باشد، چرا که باندینگ آزمایشگاهی بر اساس فرمولاسیونی شبیه به SbMP تهیه گردیده است. دلیل دیگر این موضوع احتمالاً یکسان بودن پرایمیر این دو ادھریو می‌باشد، چرا که پرایمیر به دلیل داشتن یک قطب هیدروفیل و یک قطب هیدروفوب ارتباط میان نسج و ادھریو را برقرار می‌کند و یکسان بودن این ماده می‌تواند مشابهت نتایج حاصله را توجیه نماید (۲۰).

Chan و Swift نشان دادند که میزان سیل مارجینال در سه نوع باندینگ SbMP، Gluma2000 و All-Bond2 در مینا و نیز در عاج مشابه بود ولی میزان ریزنشت قسمت‌های عاجی اندکی بیش از قسمت‌های مینایی برآورد گردید، که می‌تواند بعلت استفاده از کامپوزیت میکروفیل جهت پرکردن باشد. همچنین روش تشخیص ریزنشت در تحقیق وی (Crystal Violet Staining Technique) با روش تشخیصی در مطالعه حاضر (استفاده از فوشنین ۰.۲٪) اختلاف داشت (۲۱).

در پژوهش Ferdianakis که بین دو باندینگ Optibond و Fortify انجام شد، اختلاف معنی‌داری بین هیچ کدام از قسمت‌های مینایی و عاجی در دو گروه مشاهده نشد. در این تحقیق از فوشنین ۰.۲٪ به عنوان عامل تشخیصی استفاده گردید (۲۲) که از این لحاظ مشابه مطالعه حاضر بود ولی به دلیل استفاده از باندینگ‌های نسل پنجم، نمی‌توان آن را معیار خوبی برای ارزیابی میزان ریزنشت باندینگ‌های

طرفی با بهبود فرمولاسیون مواد باندینگ، استحکام پیوند کامپوزیت‌ها به مینا و عاج افزایش یافته و بحث ایجاد گیرهای مکانیکال تقریباً منتفی گشته است.

در پژوهش حاضر سعی بر آن شد که یک فرمولاسیون ساخت کشورمان را به لحاظ میزان ریزنشت و استحکام باند برشی با استانداردهای موجود در ISO TR 11405 تطابق داده و این ویژگی‌ها را در مقایسه با Scotchbond Multi purpose قرار دهیم.

بطورکلی به دلیل هموزن بودن ساختاری مینا و نبود مایعات عاجی در آن، باندینگ به مینا قابل اعتماد بوده و با سهولت قابل دستیابی است. اما ایجاد باند قابل قبول عاج به دلیل ساختار ناهمگون عاج و حرکت رو به خارج مایعات عاجی و بیشتر بودن محتویات آلی آن و پوشیده شدن سطح آن با لایه اسپیر با مشکلاتی همراه است. مطالعات متعددی نشان داد که ریزنشت در مارژین‌های مینایی در حد قابل توجهی کمتر از مارژین ژنتیوالی است و حتی در بیشتر موارد ریزنشت در مارژین‌های مینایی کاملاً حذف شده است (۱۶-۱۷).

در حالیکه در پژوهش حاضر میزان بسیار اندکی از ریزنشت در مارژین ژنتیوال در هر دو باندینگ مشاهده شد، آزمون‌های آماری Non-Parametric اختلاف معنی‌داری را بین ریزنشت مارژین اکلوزالی و ژنتیوالی، نه در مورد SbMP و نه در مورد باندینگ آزمایشگاهی نشان نداد.

Hilton و Gwinnett، Scholte و Tay و Davidson و همکاران، در مطالعاتشان از کامپوزیت Flowable، کامپوزیت میکروفیل و یا کامپومر به عنوان ماده پرکننده استفاده نمودند (۱۴-۱۶)، در صورتیکه در تحقیق حاضر از کامپوزیت هیبرید (3M) استفاده گردید. بنابراین می‌توان چنین نتیجه گرفت که استفاده از کامپوزیت‌های هیبرید بطور قابل ملاحظه‌ای ریزنشت ژنتیوالی را کاهش می‌دهد.

در مطالعه حاضر برای مشابه‌سازی شرایط دهان از ترموسایکلینگ استفاده گردید تا ترمیم در معرض دو کرانه دمایی و محیط مرطوب قرار گیرد. Rigsby و همکاران، Sidhu و Henderson در مطالعات خود نشان دادند که در ترمیم‌های رزین کامپوزیت باند شده با عوامل اتصال‌دهنده عاجی، میزان میزان ریزنشت در قبل و بعد از

حاضر داشت با این تفاوت که دندان‌های مورد مطالعه ایشان از نوع گاوی و تعداد نمونه‌ها کمتر از تحقیق حاضر بوده است (۲۶). اگرچه که Trumm و Manhart نشان دادند که میزان میکرولیکیج SbMP در مینا از سایر ادھزیوهای مورد استفاده در پژوهش آنها بیشتر بود ولی به طور جالبی مشخص شد که میزان آن در عاج از همه گروه‌ها کمتر است (۲۷). اگرچه مقادیر ریزنشت SbMP در تحقیق Trumm و Manhart بدون در نظر گرفتن نتایج سایر ادھزیوهای مقایسه شده در آن مطالعه با مقادیر به دست آمده در پژوهش حاضر قربات زیادی را نشان داد.

تست دیگری که در مورد کارایی یک باندینگ مطرح است، تست استحکام برشی می‌باشد. در این پژوهش پس از انجام تست‌های آماری به این نتیجه رسیدیم که تفاوت معنی‌داری میان مقادیر استحکام برشی باندینگ آزمایشگاهی و SbMP وجود ندارد (چه در مینا و چه در عاج). اما در این مطالعه جهت بررسی کارایی و اطمینان بخش بودن باندینگ‌ها از یک آنالیز ویژه به نام Weibull استفاده گردید. این مطالعه با توجه به استاندارد ISO بر روی ۱۵ نمونه برای هر باندینگ صورت گرفت و آنالیز Weibull احتمال و میزان استرس برای شکست در ۵٪ و ۹۰٪ نمونه‌ها را پیش‌بینی کرد. باید به این نکته توجه کرد که برای یک باندینگ با میزان بالای میانگین استحکام پیوند تضمینی وجود ندارد که در مقابل نیروهای سیار اندک نشکند. بنابراین میزان اعتماد به باندینگ مورد نظر (از طریق ضریب Weibull) و نیز میزان استرس لازم برای شکست ۵٪ و ۹۰٪ نکات سیار مهمی هستند (۲۷، ۲۸). از لحاظ میانگین، ضریب Weibull و میزان شکست در ۹۰٪ (۲۷، ۲۸) و نمونه‌ها، باندینگ آزمایشگاهی دارای شرایط بهتری می‌باشد. اما با توجه به آزمون پارامتریک انجام‌شده تفاوت معنی‌داری از این لحاظ میان آنها دیده نشده است.

در تحقیقی که توسط جعفرزاده بر روی استحکام برشی باندینگ SbMP در ناحیه عاجی صورت گرفت، میزان ضریب Weibull ۳/۳۸، تعیین گردید (۳۰)، در صورتی که در تحقیق حاضر این میزان برای SbMP ۲/۰۲ محاسبه شد. این تفاوت را می‌توان با توجه به این که CV (ضریب تغییر) تحقیق ایشان ۲۵/۶۲٪ و CV تحقیق حاضر در قسمت عاجی ۵۲/۸٪ بوده است توجیه نمود و این امر نشان‌دهنده همبستگی زیاد نتایج تحقیق می‌باشد، بنابراین شرایط آزمایشگاهی و دستگاه مورد استفاده در تحقیق ایشان مناسب‌تر بنظر می‌رسد. یکسان

نسل چهارم (در مطالعه حاضر) دانست.

با این وجود Pilo و Ben-Amar با مقایسه ریزنشت سه نوع باندینگ نسل چهارم و سه نوع باندینگ نسل پنجم اختلاف معنی‌داری را در بین باندینگ‌ها و در سطوح مختلف پیدا نکردند. اما به دلیل این که از فوشن ۵/۰٪ برای نشان دادن درجه نفوذ استفاده نمودند (۲۳)، شاید یکسان بودن ریزنشت باندینگ‌های نسل چهارم و پنجم از جهت ریزنشت مورد تردید باشد.

در مطالعه Amaral و همکاران میزان ریزنشت Stae ظاهرا بیشتر از بقیه موارد بود و Single Bond و Etch and Prime ۳/۰ نتایج را نشان دادند. بطوریکه میانه میزان ریزنشت در مورد Stae و SbMP و Single Bond و Etch and Prime ۳/۰ به ترتیب ۳ و ۴ و ۱ و ۲ بود. البته آزمون‌های آماری اختلاف معنی‌داری را میان این گروه‌ها نشان نداد که مشابه تحقیق حاضر بود. شایان ذکر است که دندان‌های مورد مطالعه در تحقیق ایشان انسیزورهای گاوی بودند و میزان ترموسایکلینگ ۱۰۰۰ سیکل و ماده تشخیصی متیلن بلوی ۲٪ بوده است و نمونه‌های انسانی که به عنوان نمونه استفاده شدند در مطالعه حاضر دندان‌های انسانی که به عنوان نمونه استفاده شدند در ۵۰۰ سیکل ترموسایکلینگ گردیدند و به مدت ۲۴ ساعت در فوشن ۲٪ قرار گرفتند. تفاوت در نوع نمونه‌های مورد بررسی و ماده تشخیصی و شرایط ترموسایکلینگ، می‌تواند اختلاف جزئی میان نتایج تحقیق حاضر را (که دارای میانه صفر در تمام موارد بود) با پژوهش ایشان توجیه نماید (۲۴).

در مطالعه El-Hosseiny و Farsi که به صورت IN VIVO بر روی دندان‌های شیری انجام گرفت، تفاوتی میان ریزنشت SbMP و Single Bond مشاهده نگردید (۲۵) که این امر را می‌توان به دلیل یکسان بودن کارخانه سازنده باندینگ‌ها و نزدیکی فرمولاسیون آنها (با وجود تفاوت نسل آنها) دانست. در حالیکه در پژوهش Pilo و Ben-Amar (با وجود استفاده از فوشن ۵/۰٪) به یکسان بودن میزان ریزنشت چند نوع باندینگ نسل ۴ و ۵ اشاره شده بود (۲۳).

در مقایسه میزان ریزنشت SbMP و Elhegazi و Ategah، Quick و All-Bond2، One-Step کمترین میزان ریزنشت را میان گروه‌های مورد مطالعه داراست. روش انجام شده در مطالعه ایشان شباهت زیادی به مطالعه

بنابراین همان طور که در مطالعه بالا گزارش شده است میزان استحکام برشی SbMP تفاوت معنی‌داری با بقیه نمونه‌ها داشت ولی محدوده آن مشابه با نتایج تحقیق حاضر می‌باشد. از آنجا که در پژوهش حاضر شرایط آزمایشگاهی مشابهی برای باندینگ آزمایشگاهی و SbMP در نظر گرفته شد، می‌توان نتایج قسمت عاجی باندینگ آزمایشگاهی را که از نظر آماری تفاوت معنی‌داری با SbMP نداشت. معتبرتر از نتایج سه باندینگ دیگر مطرح شده در مطالعه ایشان دانست. با توجه به نتایج مطالعات گذشته و پژوهش حاضر از جهت مقایسه این دو نوع باندینگ از نظر ریزنشت و استحکام برشی، در مجموع به نظر می‌رسد که باندینگ آزمایشگاهی دارای شرایطی قابل قبول بوده و پیشنهاد می‌شود که باندینگ آزمایشگاهی به تولید انبوه برسد. بعلاوه با توجه به اینکه در مقایسه این نوع باندینگ با باندینگ‌های نسل ۵ نتایج خوبی از لحاظ ظاهری به دست آمد، مقایسه ریزنشت و استحکام برشی این نوع باندینگ با سیستم باندینگ نسل ۵ و تولید نسل ۵ باندینگ آزمایشگاهی که سهولت کاربرد بیشتری دارد توصیه می‌شود.

بودن شرایط و دستگاه مورد استفاده در مورد هر دو باندینگ آزمایشگاهی و SbMP از نکات قوت تحقیق حاضر می‌باشد و بنابراین مقایسه نتایج این دو باندینگ قابل اعتمادتر به نظر می‌رسد. در تحقیقی Abdalla و Davidson میزان استحکام برشی سه باندینگ Optibond Clearfil Liner Bond SbMP رادر قسمت عاجی به ترتیب  $15/7 \pm 5/8$ ،  $16/3 \pm 3/8$  و  $17/7 \pm 4/1$  تعیین نمودند (۳۱) که هر سه مورد در محدوده‌ای مشابه با باندینگ‌های آزمایش شده در تحقیق حاضر قرار دارند (بهخصوص SbMP). مطالعه ایشان نشان داد که باندینگ‌های دارای استحکام برشی نزدیک MPa ۱۷ است و میزان ریزنشت در مقابل شوک‌های حرارتی و مکانیکی مقاومت خوبی دارند.

در تحقیق Elhegazi و Ateyah که برای بررسی استحکام برشی چهار نوع باندینگ مختلف انجام گرفت، نتایج سطح عاجی One-Step =  $4/32 \pm 0/3$ ، SbMP =  $13/72 \pm 3/0$ ، Perma Quick =  $8/45 \pm 2/28$  و All-Bond2 =  $6/85 \pm 0/97$ .

#### منابع:

- 1- Buonocore MG. A simple method of increasing the adhesion of acrylic filling materials to enamel surfaces. *J Dent Res.* 1955; 34(6):849-53.
- 2- Brudevold F, Buonocore M, Wileman W. A report on a resin composition capable of bonding to human dentin surfaces. *J Dent Res.* 1956; 35(6):846-51.
- 3- Alaei F , sayedan K. principles of bonding in new dentistry. 1<sup>st</sup> ed. Noor e Danesh; 2002. p:12.
- 4- Tao L, Pachley DH, Boyd L. Effect of different type of smear layers on dentin and enamel shear bond strengths. *Dent Mater.* 1988; 4(4):208-16.
- 5- Tagami J, Tao L, Pashley DH, Hosoda H, Sano H. Effects of high-speed cutting on dentin permeability and bonding. *Dent Mater.* 1991; 7(4):234-9.
- 6- Tagami J, Sugizaki J, Hosoda H. Effect of various pretreatments for dentin bonding on dentin permeability. *Shika Zairyo Kikai.* 1990; 9(2):240-56.
- 7- Craig RG, Powers JM. Restorative Dental Materials. 4<sup>th</sup> ed. St. Louis: Mosby; 2002. p:214-26.
- 8- Erickson RL. Surface interactions of dentine adhesive materials. *Oper Dent.* 1992; 5: 81-94.
- 9- Eliades G. Clinical prevalence of the formulation and testing of dentine bonding systems. *J Dent.* 1994; 22(2):73-81.
- 10- Peutzfeldt A. Resin composites in dentistry: the monomer systems. *Eur J Oral Sci.* 1997; 105(3):97-116.
- 11- Ferracane JL, Greener EH. Fourier transform infrared analysis of degree of polymerization in unfilled resins-methods comparison. *J Dent Res.* 1984; 63(8):1093-5.
- 12- Ferracane JL, Greener EH. The effect of resin formulation on the degree of conversion and mechanical properties of dental restorative resins. *J Biomed Mater Res.* 1986; 20(1):121-31.
- 13- ISO/TR 11405:2003 Dental Materials-Testing of adhesion to tooth structure.
- 14- Kemp-Scholte CM, Davidson CL. Complete marginal seal of class V resin composite restorations effected by increased flexibility. *J Dent Res.* 1990; 69(6):1240-3.
- 15- Gwinnett J, Tay F, Pang K, Wei S. Comparison of three methods of critical evaluation of microleakage a long restorative interfaces. *J Prosthet Dent.* 1995; 74(6):575-85.
- 16- Hilton TJ, Schwartz RS, Ferracane JL. Microleakage of four class II resin composite insertion techniques at intraoral temperature. *Quintessence Int.* 1997; 28(2):135-44.
- 17- Rigsby DF, Retief DH, Bidez MW, Russell CM. Effect of axial load and temperature cycling on microleakage of resin restorations. *Am J Dent.* 1992; 5(3):155-9.
- 18- Sidhu SK, Henderson LJ. Dentin adhesives and microleakage in cervical resin composites. *Am J Dent.* 1992; 5(5):240-4.
- 19- El-Araby AM, Talic YF. The effect of thermocycling on the adhesion of self-etching adhesives on dental enamel and dentin. *J Contemp Dent Pract.* 2007; 8(2):17-24.
- 20- Van Landuyt KL, Snauwaert J, De Munck J, Peumans M, Yoshida Y, Poitevin A, et al. Systematic review of the chemical composition of contemporary dental adhesives. *Biomaterials.* 2007; 28(26):3757-85.
- 21- Chan KC, Swift EJ. Marginal seal of new-generation dental

- bonding agents. *J Prosthet Dent.* 1994; 72(4):420-3.
- 22-** Ferdinandakis K. Microleakage reduction from newer esthetic restorative materials in permanent molars. *J Clin Pediatr Dent.* 1998; 22(3):221-9.
- 23-** Pilo R, Ben-Amar A. Comparison of microleakage for three one-bottle and three multiple-step dentin bonding agents. *J Prosthet Dent.* 1999; 82(2):209-13.
- 24-** Amaral CM, Hara AT, Pimenta LA, Rodrigues AL. Microleakage of hydrophilic adhesive systems in Class V composite restorations. *Am J Dent.* 2001; 14(1):31-3.
- 25-** El-Housseiny AA, Farsi N. Sealing ability of a single bond adhesive in primary teeth. An Invivo study. *Int J Paediatr Dent.* 2002; 12(4):265-70.
- 26-** Ateyah NZ, Elhegazi AA. Shear bond strength and microleakage of four types of dentin adhesive materials. *J Contemp Dent Pract.* 2004; 15(1):63-73.
- 27-** Manhart J, Trumm C. Microleakage of XP Bond in Class II cavities after artificial aging. *J Adhes Dent.* 2007; 9(2):261-4.
- 28-** McCabe JF, Walls AW. The treatment of results for tensile bond strength testing. *J Dent.* 1986; 14(4):165-8.
- 29-** Weibull W. A statistical distribution function of wide applicability. *J Appl Mech.* 1951; 18:293-7.
- 30-** Jafarzadeh Kashi T. Performance of adhesive dental biomaterials. Ph.D thesis, University of Manchester.1998
- 31-** Abdalla AI, Davidson CL. Shear bond strength and microleakage of new dentin bonding systems. *Am J Dent.* 1993; 6(6):295-8.